

Quantenrechnung aus "Computational Complexity - A modern approach"¹

Marie Hoffmann

Institut für Informatik
Freie Universität zu Berlin

14. Juli 2010

¹von S. Arora und B. Barak, Cambridge University Press, 1. Auflage
2009

Übersicht

Quantenquark

Marie
Hoffmann

Einleitung

Quanten

Quantenwelt
Superpositionen
Qubits

QuRechner

Funktionen
Gatter

Algorithmen

Faktorisierung
QFT

Fazit

Komplexität
Simulation

Quellen

① Quanten

Quantenwelt
Superpositionen
Qubits

② QuRechner

Funktionen
Gatter

③ Algorithmen

Algorithmus von Shor: Primfaktorzerlegung
Quanten-Fourier-Transformation

④ Fazit

Komplexität
Simulation von Quantenrechnern

⑤ Quellen

Church-Turing-These

Quantenquark

Marie
Hoffmann

Einleitung

Quanten

Quantenwelt
Superpositionen
Qubits

QuRechner

Funktionen
Gatter

Algorithmen

Faktorisierung
QFT

Fazit

Komplexität
Simulation

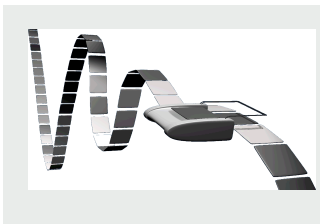
Quellen

Church-Turing-These [Church, 1936], [Turing, 1936]

Jede intuitiv berechenbare Funktion kann von einer Turingmaschine simuliert werden.

Physikalische Version der CT-These [Deutsch, 1985]

Jedes **physikalisch** realisierbare Rechenmodell, unabhängig von der ihm zugrundeliegenden Technologie, kann von einer TM simuliert werden.



Church-Turing-These

Quantenquark

Marie
Hoffmann

Einleitung

Quanten
Quantenwelt
Superpositionen
Qubits

QuRechner
Funktionen
Gatter

Algorithmen
Faktorisierung
QFT

Fazit
Komplexität
Simulation

Quellen

Church-Turing-These [Church, 1936], [Turing, 1936]

Jede intuitiv berechenbare Funktion kann von einer Turingmaschine simuliert werden.

Physikalische Version der CT-These [Deutsch, 1985]

Jedes **physikalisch** realisierbare Rechenmodell, unabhängig von der ihm zugrundeliegenden Technologie, kann von einer TM simuliert werden.

Stärker formuliert (*strong form of CT thesis*)

Jedes physikalisch realisierbare Rechenmodell kann von einer TM mit höchstens polynomiellen Aufwand simuliert werden.

Was sind Quanten?

Quantelung

Quantenquark

Marie
Hoffmann

Einleitung

Quanten
Quantenwelt
Superpositionen
Qubits

QuRechner
Funktionen
Gatter

Algorithmen
Faktorisierung
QFT

Fazit
Komplexität
Simulation

Quellen

lat. *quantum*: “wie groß”, “wie viel”

- **nicht teilbare Portion** bezüglich einer **physikalischen Größe**, meist Energie (Quantelung der physik. Größe)
- kann nur als Ganzes verändert/abgegeben werden
- Beispiele:
 - **Photon** als Quant des **elektromagnetischen Feldes**
 - Energie des Lichts tritt in zur Frequenz proportionalen Einheiten auf
 - Quant des **Drehimpulses** $\vec{L} = \vec{r} \times \vec{p}$
 - ganz- und halbzahlige Vielfache von $h^{(2)}$
 - **Elektron** bzgl. seiner **vier Quantenzahlen**
 - **Hauptquantenzahl**: Schale $n \in \{1, 2, 3, \dots\}$
 - **Nebenquantenzahl**: Orbital $l \in \{0, 1, 2, \dots, n - 1\}$
 - **Magnetische Quantenzahl des Drehimpuls**:
 $m \in \{-l, -l + 1, \dots, l\}$
 - **Spinquantenzahl**: Orientierung des Spins $s_z \in \{-\frac{1}{2}, \frac{1}{2}\}$

²Planckschen Wirkungsquantums $h \approx 6,62606896 \cdot 10^{-34} \text{Js}$

Was sind Quanten?

Dualismus Welle – Teilchen

Quantenquark

Marie
Hoffmann

Einleitung

Quanten

Quantenwelt

Superpositionen

Qubits

QuRechner

Funktionen

Gatter

Algorithmen

Faktorisierung

QFT

Fazit

Komplexität

Simulation

Quellen

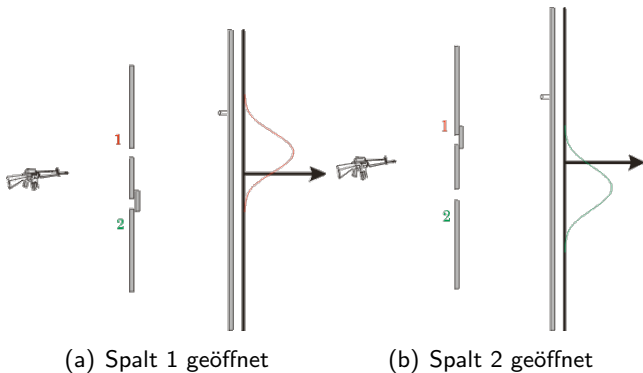


Abbildung: Beschuss durch Teilchen/Licht

Was sind Quanten?

Dualismus Welle – Teilchen

Quantenquark

Marie
Hoffmann

Einleitung

Quanten

Quantenwelt

Superpositionen

Qubits

QuRechner

Funktionen

Gatter

Algorithmen

Faktorisierung

QFT

Fazit

Komplexität

Simulation

Quellen

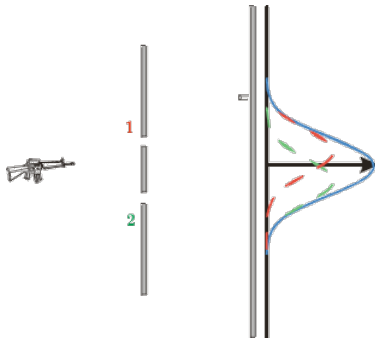


Abbildung: Teilchenbeschuss durch beide Öffnungen

Was sind Quanten?

Dualismus Welle – Teilchen

Quantenquark

Marie
Hoffmann

Einleitung

Quanten

Quantenwelt

Superpositionen
Qubits

QuRechner

Funktionen
Gatter

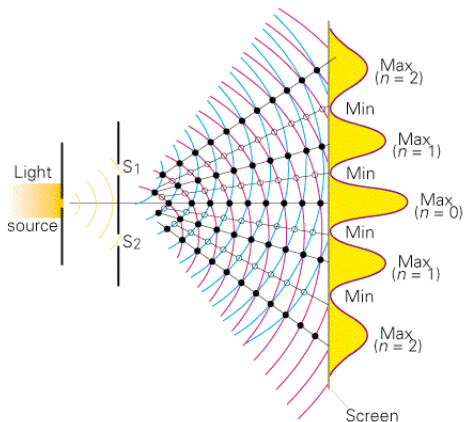
Algorithmen

Faktorisierung
QFT

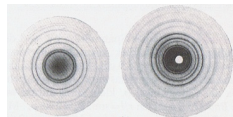
Fazit

Komplexität
Simulation

Quellen



(a) Lichtbeschuss durch beide Öffnungen



(b) Beugungsbilder

Was sind Quanten?

Dualismus Welle – Teilchen

Quantenquark

Marie
Hoffmann

Einleitung

Quanten

Quantenwelt

Superpositionen

Qubits

QuRechner

Funktionen

Gatter

Algorithmen

Faktorisierung

QFT

Fazit

Komplexität

Simulation

Quellen

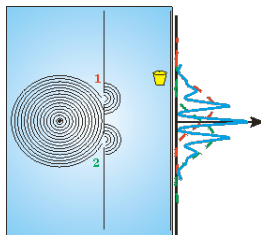


Abbildung: **Beugung**, Entstehung neuer Wellen

- **Beugung** und **Interferenz** führen zu einem charakteristischen Beugungsbild
 - Experiment wiederholbar für Elektronen, Ionen
- ⇒ Quantenobjekten wird eine Wahrscheinlichkeitswelle mit **Wellenlänge** $\lambda = \frac{h}{p}$ zugeordnet

Was sind Quanten?

Dualismus Welle – Teilchen

Quantenquark

Marie
Hoffmann

Einleitung

Quanten

Quantenwelt

Superpositionen

Qubits

QuRechner

Funktionen

Gatter

Algorithmen

Faktorisierung

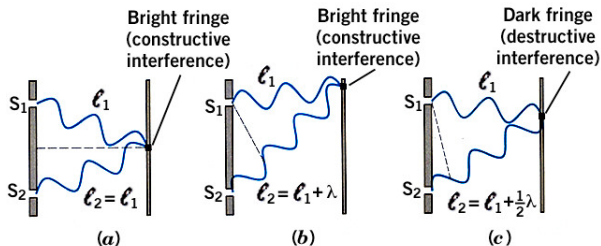
QFT

Fazit

Komplexität

Simulation

Quellen



Copyright John Wiley & Sons

Abbildung: **Interferenz**, Überlagerung von Wellen

- **Beugung** und **Interferenz** führen zu einem charakteristischen Beugungsbild
 - Experiment wiederholbar für Elektronen, Ionen
- ⇒ Quantenobjekten wird eine Wahrscheinlichkeitswelle mit **Wellenlänge** $\lambda = \frac{h}{p}$ zugeordnet

Von Quanten zu Qubits

Superposition

Quantenquark

Marie
Hoffmann

Einleitung

Quanten
Quantenwelt
Superpositionen
Qubits

QuRechner
Funktionen
Gatter

Algorithmen
Faktorisierung
QFT

Fazit
Komplexität
Simulation

Quellen

- benötigen manipulierbares Speicherelement analog zum Bit: das **Qubit**
- Zustandsbeschreibung mithilfe des Superpositionsprinzips

Prinzip der Superposition

- zwei beliebige Zustände eines Quants werden als Grundzustände festgesetzt: $|0\rangle$ und $|1\rangle$
- beide Zustände überlagern sich, bzw. interferieren
- Quant kann alle Zustände der Form $\alpha_0|0\rangle + \alpha_1|1\rangle$ annehmen

Amplituden $\alpha_{0/1} \in \mathbb{C}$ und $|\alpha_0|^2 + |\alpha_1|^2 = 1$

- ersetze **Quant** durch **Qubit**
- **Achtung: Messung führt zum Kollaps des Quantensystems!**

Von Quanten zu Qubits

Zwei-Qubit-System

Quantenquark

Marie
Hoffmann

Einleitung

Quanten
Quantenwelt
Superpositionen
Qubits

QuRechner
Funktionen
Gatter

Algorithmen
Faktorisierung
QFT

Fazit
Komplexität
Simulation

Quellen

Ein-Qubit-System: $\alpha_0|0\rangle + \alpha_1|1\rangle$

$$p(|0\rangle) = \alpha_0^2 \text{ und } p(|1\rangle) = \alpha_1^2$$

Analog ein **Zwei-Qubit-System:**

$$z_{b_1 b_2} = \alpha_{00}|00\rangle + \alpha_{01}|01\rangle + \alpha_{10}|10\rangle + \alpha_{11}|11\rangle$$

umgeschrieben:

$$z_{b_1 b_2} = \underbrace{(|0\rangle + |1\rangle)}_{b_1} \underbrace{(|0\rangle + |1\rangle)}_{b_2}$$

$$\sum_{b_1, b_2} |\alpha_{b_1 b_2}|^2 = 1$$

Frage: Wie groß ist die W'keit, dass sich ein
Zwei-Qubit-System im Zustand $|b_1 b_2\rangle$ befindet?

Von Quanten zu Qubits

Zwei-Qubit-System

Quantenquark

Marie
Hoffmann

Einleitung

Quanten
Quantenwelt
Superpositionen
Qubits

QuRechner
Funktionen
Gatter

Algorithmen
Faktorisierung
QFT

Fazit
Komplexität
Simulation

Quellen

Ein-Qubit-System: $\alpha_0|0\rangle + \alpha_1|1\rangle$

$$p(|0\rangle) = \alpha_0^2 \text{ und } p(|1\rangle) = \alpha_1^2$$

Analog ein **Zwei-Qubit-System:**

$$z_{b_1 b_2} = \alpha_{00}|00\rangle + \alpha_{01}|01\rangle + \alpha_{10}|10\rangle + \alpha_{11}|11\rangle$$

umgeschrieben:

$$z_{b_1 b_2} = \underbrace{(|0\rangle + |1\rangle)}_{b_1} \underbrace{(|0\rangle + |1\rangle)}_{b_2}$$

$$\sum_{b_1, b_2} |\alpha_{b_1 b_2}|^2 = 1$$

Frage: Wie groß ist die W'keit, dass sich ein
Zwei-Qubit-System im Zustand $|b_1 b_2\rangle$ befindet?

Antwort: Antwort: $|\alpha_{b_1 b_2}|^2$

Von Quanten zu Qubits

Geometrische Veranschaulichung der Superpositionen

Quantenquark

Marie
Hoffmann

Einleitung

Quanten
Quantenwelt
Superpositionen
Qubits

QuRechner

Funktionen
Gatter

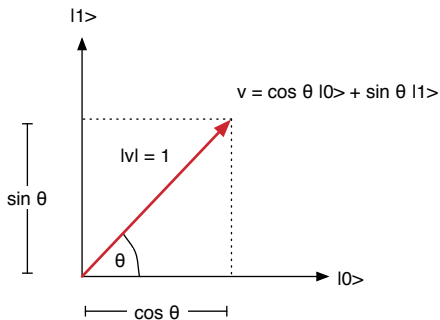
Algorithmen

Faktorisierung
QFT

Fazit

Komplexität
Simulation

Quellen



Zu einem beliebigen Zeitpunkt befindet sich das System³

- in Zustand $|0\rangle$ mit W'keit $\cos^2 \theta$
- in Zustand $|1\rangle$ mit W'keit $\sin^2 \theta$

³Koeffizienten aus \mathbb{R}

EPR-Paradoxon

Ein Gedankenexperiment

Quantenquark

Marie
Hoffmann

Einleitung

Quanten

Quantenwelt
Superpositionen
Qubits

QuRechner

Funktionen
Gatter

Algorithmen

Faktorisierung
QFT

Fazit

Komplexität
Simulation

Quellen

Das **EPR-Paradoxon**⁴ veranschaulicht wie zwei Systeme⁵ mithilfe der Quantenmechanik zeitgleich ihre Aktionen koordinieren können.

- zunächst nur Gedankenspiel [1935]
- paradox: nichts ist schneller als Licht
- John Bell [1964] macht daraus ein reales Experiment

Version von Bells Experiment: **Paritätsspiel**

- Ratespiel
- Spielleiter und zwei Spieler Alice (A) und Bob (B)

⁴benannt nach Einstein, Podolsky und Rosen

⁵räumlich getrennte

EPR-Paradoxon

Ein Gedankenexperiment

Quantenquark

Marie
Hoffmann

Einleitung

Quanten
Quantenwelt
Superpositionen
Qubits

QuRechner
Funktionen
Gatter

Algorithmen
Faktorisierung
QFT

Fazit
Komplexität
Simulation

Quellen

Spielablauf

- 1 Spielleiter wählt zufällig zwei Bits $x, y \in_R \{0, 1\}$
- 2 x wird Alice und y Bob gezeigt⁴
- 3 Alice und Bob entscheiden⁵ mit welchem Bit a bzw. b sie dem Spielleiter antworten, $a, b \in \{0, 1\}$
- 4 Alice und Bob gewinnen $\Leftrightarrow x \wedge y = a \oplus b$

x	y	$x \wedge y$	a	b	$a \oplus b$
0	0	0	0	0	0
0	1	0	0	1	1
1	0	0	1	0	1
1	1	1	1	1	0

⁴keiner kennt das andere Bit

⁵ohne Informationsaustausch mit dem anderen Spieler

EPR-Paradoxon

Ein Gedankenexperiment

Quantenquark

Marie
Hoffmann

Einleitung

Quanten
Quantenwelt
Superpositionen
Qubits

QuRechner
Funktionen
Gatter

Algorithmen
Faktorisierung
QFT

Fazit
Komplexität
Simulation

Quellen

Versuchsaufbau 1: kein gemeinsames Quantensystem

- falls $f(x) = a$ und $g(y) = b^4$, dann Gewinnw'keit $p = \frac{1}{2}$
- beste Strategie: beide antworten unabhängig von der Eingabe immer mit 0, dann $p = \frac{3}{4}$

x	y	$x \wedge y$	a	b	$a \oplus b$
0	0	0	0	0	0
0	1	0	0	1	1
1	0	0	1	0	1
1	1	1	1	1	0

$$p = \underbrace{p(x \wedge y = 0)}_{\frac{3}{4}} * \underbrace{p(a \oplus b = 0 | a = b = 0)}_1$$

⁴Antwort abhängig von Eingabe

Versuchsaufbau 2: gemeinsames Quantensystem im Zustand $z_{EPR} = |00\rangle + |11\rangle$

- A bekommt das erste Qubit q_A , B das zweite Qubit q_B
- einigen sich vorher:
 - ➊ A: $x = 1$, dann $rotate(q_A, \frac{\pi}{8})$
 - ➋ B: $y = 1$, dann $rotate(q_B, -\frac{\pi}{8})$
 - ➌ $x = 0 \vee y = 0$, dann tun sie nichts
 - ➍ Antwort: Lesen ihr Qubit $q_{A,B} = \alpha_{A/B,0}|0\rangle + \alpha_{A/B,1}|1\rangle$ und antworten mit den W'keiten $f(q_{A,0}) = \alpha_{A,0}^2$ für $|0\rangle$ und $f(q_{A,1}) = \alpha_{A,1}^2$ für $|1\rangle$, B analog
- drei grundsätzliche Fälle
 - ➊ $p_{xy}(x = y = 0) = 1/4$
 - ➋ $p_{xy}(x \neq y) = 1/2$
 - ➌ $p_{xy}(x = y = 1) = 1/4$

EPR-Paradoxon

Ein Gedankenexperiment

Quantenquark

Marie
Hoffmann

Einleitung

Quanten
Quantenwelt
Superpositionen
Qubits

QuRechner
Funktionen
Gatter

Algorithmen
Faktorisierung
QFT

Fazit
Komplexität
Simulation

Quellen

Fall 1: $x = y = 0$, Aktion: beide **rotieren** nicht ihre Qubit und **messen** es

- zum Zeitpunkt der Messung $q_{EPR}(t) = |00\rangle \vee |11\rangle$
 $q_{EPR}(t) = |00\rangle, \theta = 0$

$$f(q_A) = \begin{pmatrix} \cos^2 0 \\ \sin^2 0 \end{pmatrix} = f(q_B) = \begin{pmatrix} \cos^2 0 \\ \sin^2 0 \end{pmatrix} = \begin{pmatrix} 1 \\ 0 \end{pmatrix}$$

Auswertung: $x \wedge y = \underbrace{a}_{0 \wedge 0 = 0} \oplus \underbrace{b}_{0 \oplus 0 = 0} \equiv 1$

$q_{EPR}(t) = |11\rangle, \theta = \pi/2$

$$f(q_A) = \begin{pmatrix} \cos^2 \frac{\theta}{2} \\ \sin^2 \frac{\theta}{2} \end{pmatrix} = f(q_B) = \begin{pmatrix} \cos^2 \frac{\theta}{2} \\ \sin^2 \frac{\theta}{2} \end{pmatrix} = \begin{pmatrix} 0 \\ 1 \end{pmatrix}$$

Auswertung: $x \wedge y = \underbrace{a}_{0 \wedge 0 = 0} \oplus \underbrace{b}_{1 \oplus 1 = 0} \equiv 1$

- $p(x = y = 0) = 1$

EPR-Paradoxon

Ein Gedankenexperiment

Quantenquark

Marie
Hoffmann

Einleitung

Quanten
Quantenwelt
Superpositionen
Qubits

QuRechner
Funktionen
Gatter

Algorithmen
Faktorisierung
QFT

Fazit
Komplexität
Simulation

Quellen

Fall 2: $x \neq y$, Aktion: **einer rotiert**, der **andere tut nichts**,
o.B.d.A. A: $x = 0$ und B: $y = 1$ und **messen**

- zum Zeitpunkt der Messung $q_{EPR}(t) = |00\rangle \vee |11\rangle$
 $q_{EPR}(t) = |00\rangle, \theta = 0$

$$f(q_A) = \begin{pmatrix} \cos^2 0 \\ \sin^2 0 \end{pmatrix} = \begin{pmatrix} 1 \\ 0 \end{pmatrix}$$

B rotiert $q_B = \cos \frac{\pi}{8} |0\rangle - \sin \frac{\pi}{8} |1\rangle$ und gibt aus

$$f(q_B) = \begin{pmatrix} \cos^2 \frac{\pi}{8} \\ \sin^2 \frac{\pi}{8} \end{pmatrix}$$

um zu gewinnen müssen beide Bits gleich sein

$$p(x \neq y \wedge |00\rangle) = 1 \cdot \cos^2 \frac{\theta}{8}$$

EPR-Paradoxon

Ein Gedankenexperiment

Quantenquark

Marie
Hoffmann

Einleitung

Quanten
Quantenwelt
Superpositionen
Qubits

QuRechner
Funktionen
Gatter

Algorithmen
Faktorisierung
QFT

Fazit
Komplexität
Simulation

Quellen

Fall 2: $x \neq y$, Aktion: **einer rotiert**, der **andere tut nichts**,
o.B.d.A. A: $x = 0$ und B: $y = 1$ und **messen**

- zum Zeitpunkt der Messung $q_{EPR}(t) = |00\rangle \vee |11\rangle$
 $q_{EPR}(t) = |11\rangle, \theta = \frac{\pi}{2}$

$$f(q_A) = \begin{pmatrix} \cos^2 \frac{\pi}{2} \\ \sin^2 \frac{\pi}{2} \end{pmatrix} = \begin{pmatrix} 0 \\ 1 \end{pmatrix}$$

B rotiert

$q_B = \cos(\frac{\pi}{2} - \frac{\pi}{8})|0\rangle + \sin(\frac{\pi}{2} - \frac{\pi}{8})|1\rangle = \sin \frac{\pi}{8}|0\rangle + \cos \frac{\pi}{8}$
und gibt aus

$$f(q_B) = \begin{pmatrix} \sin^2 \frac{\pi}{8} \\ \cos^2 \frac{\pi}{8} \end{pmatrix}$$

um zu gewinnen müssen beide Bits gleich sein

$$p(x \neq y \wedge |11\rangle) = 1 \cdot \cos^2 \frac{\theta}{8}$$

EPR-Paradoxon

Ein Gedankenexperiment

Quantenquark

Marie
Hoffmann

Einleitung

Quanten
Quantenwelt
Superpositionen
Qubits

QuRechner
Funktionen
Gatter

Algorithmen
Faktorisierung
QFT

Fazit
Komplexität
Simulation

Quellen

Fall 3: $x = y = 1$, Aktion **beide rotieren** ihr Qubit und **messen**, gewinnen g.d.w. $a \neq b$

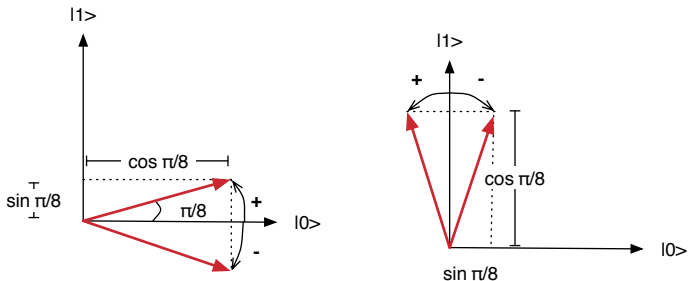


Abbildung: Rotation aus $|0\rangle$ und $|1\rangle$

EPR-Paradoxon

Ein Gedankenexperiment

Quantenquark

Marie
Hoffmann

Einleitung

Quanten

Quantenwelt
Superpositionen
Qubits

QuRechner

Funktionen
Gatter

Algorithmen

Faktorisierung
QFT

Fazit

Komplexität
Simulation

Quellen

Fall 3: $x = y = 1$, Aktion **beide rotieren** ihr Qubit und **messen**, gewinnen g.d.w. $a \neq b$

$$\begin{aligned}q_{AB} &= q_{AB}^{|00\rangle} + q_{AB}^{|11\rangle} \\&= \underbrace{\left(\cos \frac{\pi}{8}|0\rangle + \sin \frac{\pi}{8}|1\rangle\right)}_{q_A^{|0\rangle}} \underbrace{\left(\cos \frac{\pi}{8}|0\rangle - \sin \frac{\pi}{8}|1\rangle\right)}_{q_B^{|0\rangle}} \\&\quad + \\&\quad \underbrace{\left(-\sin \frac{\pi}{8}|0\rangle + \cos \frac{\pi}{8}|1\rangle\right)}_{q_A^{|1\rangle}} \underbrace{\left(\sin \frac{\pi}{8}|0\rangle + \cos \frac{\pi}{8}|1\rangle\right)}_{q_B^{|1\rangle}} \\&= \left(\cos^2 \frac{\pi}{8} - \sin^2 \frac{\pi}{8}\right)|00\rangle - 2 \sin \frac{\pi}{8} \cos \frac{\pi}{8}|01\rangle + \\&\quad 2 \sin \frac{\pi}{8} \cos \frac{\pi}{8}|10\rangle + \left(\cos^2 \frac{\pi}{8} - \sin^2 \frac{\pi}{8}\right)|11\rangle\end{aligned}$$

Alle Koeffizienten betragen $\frac{1}{\sqrt{2}} \implies$ alle Zustände gleichwahrscheinlich mit Normalisierungsfaktor $\left(\frac{1}{\sqrt{2}} \cdot \frac{1}{\sqrt{2}}\right)^2 = \frac{1}{4}$.

EPR-Paradoxon

Ein Gedankenexperiment

Quantenquark

Marie
Hoffmann

Einleitung

Quanten
Quantenwelt
Superpositionen
Qubits

QuRechner
Funktionen
Gatter

Algorithmen
Faktorisierung
QFT

Fazit
Komplexität
Simulation

Quellen

Zusammengefasst:

$$p_q = \underbrace{\frac{1}{4}}_{x=y=0} \cdot 1 + \underbrace{\frac{1}{2}}_{x \neq y} \cdot \cos^2 \frac{\pi}{8} + \underbrace{\frac{1}{4}}_{x=y=1} \cdot \frac{1}{2} \geq 0.8 > 0.75 = p_{notq}$$

⇒ mit einem Qubit-System erhöht sich die Gewinnwahrscheinlichkeit im Ratespiel ohne Informationsaustausch⁴

⁴dieser fand vor Spielbeginn statt

Quantenrechnung

Quantenquark

Marie
Hoffmann

Einleitung

Quanten
Quantenwelt
Superpositionen
Qubits

QuRechner

Funktionen
Gatter

Algorithmen

Faktorisierung
QFT

Fazit

Komplexität
Simulation

Quellen

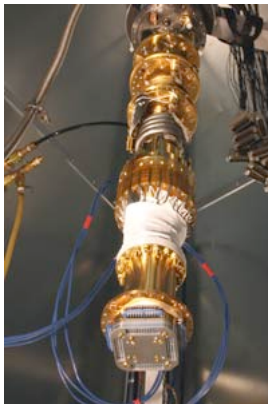


Abbildung: 16-Qubit-Quantencomputer der Firma D-Wave

Lineare Algebra

zur Erinnerung

Quantenquark

Marie
Hoffmann

Einleitung

Quanten
Quantenwelt
Superpositionen
Qubits

QuRechner

Funktionen
Gatter

Algorithmen

Faktorisierung
QFT

Fazit

Komplexität
Simulation

Quellen

komplexe Zahl $z = a + ib$, dann ist $\bar{z} = a - ib$ die *komplex Konjugierte* zu z , $i = \sqrt{-1}$

$$\text{Norm } \|u\|_2 = \|u\| = \sqrt{\langle u, u \rangle}$$

Orthogonalität $\langle u, v \rangle = 0 \Leftrightarrow u, v$ sind orthogonal

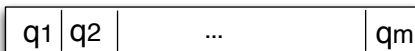
Orthonormalbasis $\{v^i\}_{i \in [1..m]} \in \mathbb{C}^m$ ist Orthonormalbasis von \mathbb{C}^m g.d.w. $\langle v^i, v^j \rangle_{i \neq j} = 0$ und $\langle v^i, v^j \rangle_{i=j} = 1$

konjugiert Transponierte A^* zu $A \in \mathbb{C}^{m \times m}$ mit $A^*_{ij} = \bar{A}_{ji}, \forall i, j \in [1..m]$

unitäre Matrix eine Matrix $A \in \mathbb{R}^{m \times m}$ ist unitär, wenn $AA^* = I$

Speicher

- ein m -**Qubit-Quantenregister** ist zusammengesetzt aus m Qubits



- Zustandsraum: alle Superpositionen über die $\{0, 1\}^m = 2^m$ Grundzustände
- Zustandsvektor $v = \langle v_{0^m}, v_{0^{m-1}1}, \dots, v_{1^m} \rangle$, $\sum_x |v_x|^2 = 1$
- Messung: $p(|x\rangle) = v_x^2$ und $v_{x \neq y} = 0$ ⁵

⁵Kollaps: alle anderen Koeffizienten werden Null

Quantenoperation F

Eine Quantenoperation ist eine Funktion F , die für ein m -Qubit-Register einen Zustandswechsel durchführt

$$F : \mathbb{C}^{2^m} \mapsto \mathbb{C}^{2^m}$$

und den Bedingungen genügt:

Linearität $F(v) = \sum_x v_x F(|x\rangle), \forall v \in \mathbb{C}^{2^m}$

Normerhaltung $\|v\| = 1 \Rightarrow \|F(v)\| = 1$

- 1 F kann durch eine *unitäre* $2^m \times 2^m$ -Matrix A beschrieben werden
- 2 da $AA^* = I^6$, hat jede Funktion eine Inverse

⁶also unitär ist

Quantenoperationen

Elementare Quantenoperation – Quantenrechnung

Quantenquark

Marie
Hoffmann

Einleitung

Quanten
Quantenwelt
Superpositionen
Qubits

QuRechner
Funktionen
Gatter

Algorithmen
Faktorisierung
QFT

Fazit
Komplexität
Simulation

Quellen

Definition: elementar

Eine Quantenoperation^a ist *elementar*, wenn sie auf höchstens **drei** Qubits des Registers rechnet.

^aoder auch mehrere Quantengatter

Definition: Quantenberechnung

Eine Quantenberechnung ist eine Sequenz von Elementaroperationen angewandt auf ein Quantenregister.

Quantenoperationen

BQP: *bounded error quantum polynomial time*

Quantenquark

Marie
Hoffmann

Einleitung

Quanten

Quantenwelt
Superpositionen
Qubits

QuRechner

Funktionen
Gatter

Algorithmen

Faktorisierung
QFT

Fazit

Komplexität
Simulation

Quellen

Definition: BQP

Ein Boolesche Funktion $f : \{0, 1\}^* \mapsto \{0, 1\}$ ist in **BQP**, wenn es ein Polynom $p : \mathbb{N} \mapsto \mathbb{N}$ gibt, so dass f in $p(n)$ -Zeit quantenberechenbar ist.

No-Cloning-Theorem

Quantenquark

Marie
Hoffmann

Einleitung

Quanten
Quantenwelt
Superpositionen
Qubits

QuRechner
Funktionen
Gatter

Algorithmen
Faktorisierung
QFT

Fazit
Komplexität
Simulation

Quellen

No-Cloning-Theorem

Resultat der Quantenphysik: Das **Kopieren** von einem Qubit auf ein anderes ist **nicht möglich** ohne das ursprüngliche zu verändern.

⇒ Kopieren ist nicht umkehrbar, also keine gültige Funktion^a

$$\cancel{x := y}, \text{ aber } x := \underbrace{x}_{=0} \forall y$$

^b

^akeine unitäre Matrix bildbar

^bes dürfen auch keine neuen Qubits hinzugenommen werden

No-Cloning-Theorem

Quantenquark

Marie
Hoffmann

Einleitung

Quanten

Quantenwelt
Superpositionen
Qubits

QuRechner

Funktionen
Gatter

Algorithmen

Faktorisierung
QFT

Fazit

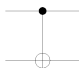
Komplexität
Simulation

Quellen

Beispiele:

① $CNOT(x)^7$

$$|xy\rangle \mapsto |x(x \oplus y)\rangle$$



x	$y = x \oplus 0$
0	0
1	1

x	$y = x \oplus 1$
0	1
1	0

② $AND(b_1, b_2)$

$$|b_1\rangle|b_2\rangle|b_3\rangle \mapsto |b_1\rangle|b_2\rangle|b_3 \oplus (b_1 \wedge b_2)\rangle$$

③ $FLIP(x, y)$, $|0\rangle \mapsto |1\rangle$ und $|1\rangle \mapsto |0\rangle$

! y, b_3 müssen unberührte Qubits im Zustand $|0\rangle$ bzw. $|1\rangle$ sein!

⁷controlled NOT

Hadamard-Gatter

Quantenquark

Marie
Hoffmann

Einleitung

Quanten

Quantenwelt
Superpositionen
Qubits

QuRechner

Funktionen
Gatter

Algorithmen

Faktorisierung
QFT

Fazit

Komplexität
Simulation

Quellen

Hadamard-Gatter

einstellige Funktion, die Zustände $|0\rangle, |1\rangle$ in überlagerte Zustände überführt

$$\begin{pmatrix} |0\rangle \\ |1\rangle \end{pmatrix} \mapsto \frac{1}{\sqrt{2}} \begin{pmatrix} |0\rangle + |1\rangle \\ |0\rangle - |1\rangle \end{pmatrix}, \text{ Matrix: } \frac{1}{\sqrt{2}} \begin{pmatrix} 1 & 1 \\ 1 & -1 \end{pmatrix}$$

Schaltsymbol:  , allgemein: $|b\rangle \mapsto |0\rangle + (-1)^b|1\rangle$

Hadamard-Gatter auf ein m -Qubit-Register angewandt:

$$|b\rangle \text{---} \text{H} \text{---} \frac{1}{\sqrt{2^m}} \sum_{x \in \{0,1\}^m} (-1)^{xb} |x\rangle = \frac{1}{\sqrt{2^m}} \sum_{x \in \{0,1\}^m} (-1)^{x \odot b} |x\rangle$$

Hadamard-Gatter

Quantenquark

Marie
Hoffmann

Einleitung

Quanten
Quantenwelt
Superpositionen
Qubits

QuRechner
Funktionen
Gatter

Algorithmen
Faktorisierung
QFT

Fazit
Komplexität
Simulation

Quellen

Beispiele:

① $m = 1$

$$\frac{1}{\sqrt{2}} \begin{pmatrix} 1 & 1 \\ 1 & -1 \end{pmatrix} \begin{pmatrix} v_1 \\ v_2 \end{pmatrix} = \frac{1}{\sqrt{2}} \begin{pmatrix} v_1 + v_2 \\ v_1 - v_2 \end{pmatrix}$$

② $m = 2$

$$\begin{aligned} |01\rangle \text{---} \boxed{H} \text{---} & \frac{1}{\sqrt{2^m}} \sum_{x \in \{0,1\}^m} (-1)^{x \cdot b} |x\rangle = \frac{1}{2} \sum_{x \in \{0,1\}^2} (-1)^x |x\rangle \\ & = \frac{1}{2} [|00\rangle - |01\rangle + |10\rangle - |11\rangle] \end{aligned}$$

Integerfaktorisierung

Algorithmus von Shor

Quantenquark

Marie
Hoffmann

Einleitung

Quanten
Quantenwelt
Superpositionen
Qubits

QuRechner
Funktionen
Gatter

Algorithmen
Faktorisierung
QFT

Fazit
Komplexität
Simulation

Quellen

Primfaktorzerlegung

Gegeben ein $N \in \mathbb{N}$

Finde Menge aller Primzahlfaktoren von N

Bisher bester klassische Algorithmus: $2^{(\log N)^{1/3}}$ Schritte

Algorithmus von Shor: Faktorisierung in BPQ

Es gibt ein Quantenalgorithmus, der ein gegebenes N die Primzahlzerlegung in $poly(\log N)$ Zeit ausgibt.

Der Algorithmus von Shor [1994]

- gehört zur Klasse der Monte-Carlo-Algorithmen
- ⇒ ist in wenigen Fällen falsch
- zwei Teile: klassischer Teil (Reduktion) und Quantenteil

Algorithmus von Shor

Klassischer Teil – Reduktion auf Bestimmung der Ordnung

Quantenquark

Marie
Hoffmann

Einleitung

Quanten

Quantenwelt
Superpositionen
Qubits

QuRechner

Funktionen
Gatter

Algorithmen

Faktorisierung
QFT

Fazit

Komplexität
Simulation

Quellen

Behauptung

Problem der Primzahlfaktorisation kann auf das Problem der Ordnungsbestimmung reduziert werden

Definition: Ordnung

Die Ordnung r ist die kleinste natürliche Zahl mit der ein Element a einer Gruppe G mit sich selber verknüpft werden muss, damit gilt: $a^r = e$. e sei das neutrale Element von G .

- im Fall der Primfaktorzerlegung einer Zahl N gilt:

$$a^r \equiv 1 \pmod{N}$$

- es reicht **einen Faktor** zu finden und die Anwendung zu **wiederholen**

Algorithmus von Shor

Klassischer Teil – Reduktion auf Bestimmung der Ordnung

Quantenquark

Marie
Hoffmann

Einleitung

Quanten
Quantenwelt
Superpositionen
Qubits

QuRechner
Funktionen
Gatter

Algorithmen
Faktorisierung
QFT

Fazit
Komplexität
Simulation

Quellen

Sei dies vom Algorithmus sicher gestellt⁸:

- 1 wähle zufällig $1 < A < N$
- 2 Bestimme Ordnung r , so dass

$$A^r \equiv 1 \pmod{N} \iff A^r - 1 \equiv 0$$

- 3 r gerade und $A^{r/2} + 1 \not\equiv 0$

$k_{1-5} \in \mathbb{N}$, betrachte

$$\left(\underbrace{A^{r/2} - 1}_{k_4 \cdot N + k_5 \not\equiv 0 \text{ aus 2.}} \right) \left(\underbrace{A^{r/2} + 1}_{k_2 \cdot N + k_3 \not\equiv 0} \right) = \underbrace{A^r - 1}_{k_1 \cdot N \equiv 0}$$

$$\begin{aligned} \Rightarrow k_4 N k_2 N + k_4 N k_3 + k_5 k_2 N + k_5 k_3 &\equiv 0 \\ &= \underbrace{N \cdot \text{Rest}}_{\equiv 0} + \underbrace{k_5 k_3}_{\Rightarrow \equiv 0} \equiv 0 \implies A^{r/2} - 1 \text{ enthält Teiler} \end{aligned}$$

⁸falls nicht wieder zu Schritt 1

Algorithmus von Shor

Klassischer Teil – Algorithmus

Quantenquark

Marie
Hoffmann

Einleitung

Quanten

Quantenwelt
Superpositionen
Qubits

QuRechner

Funktionen
Gatter

Algorithmen

Faktorisierung
QFT

Fazit

Komplexität
Simulation

Quellen

Shor's Algorithm

Eingabe: $N \in \mathbb{N}$, Ausgabe: ein Primfaktor

- 1 Wähle ein A zufällig aus $[2..N - 1]$
- 2 Bestimme $g = ggT(A, N)$ mit euklidischen Algorithmus^a
 - (a) falls $g \neq 1$ gebe g zurück und terminiere
 - (b) sonst weiter 3
- 3 Bestimme mit **Quantenteil** Ordnung r von A ^b
- 4 zurück zu 1. falls^c
 - (a) r ungerade
 - (b) $A^{r/2} \equiv -1 (\%N)$
- 5 gebe $ggT(A^{r/2} - 1, n)$ zurück

^asiehe Anhang im Handout

^bkleinstes r , so dass $A^r \equiv 1 (\%N)$

^cW'keit $< 3/4$

Algorithmus von Shor

Quantenteil – QFT

Quantenquark

Marie
Hoffmann

Einleitung

Quanten
Quantenwelt
Superpositionen
Qubits

QuRechner
Funktionen
Gatter

Algorithmen
Faktorisierung
QFT

Fazit
Komplexität
Simulation

Quellen

Kernstück ist die Quanten-Fourier-Transformation (**QFT**, analog zur FFT)

- jedes sich wiederholende Ereignis f lässt sich durch Sinus/Kosinuswellen darstellen⁹

$$\hat{f}(x) = \frac{1}{\sqrt{M}} \sum_{y \in \mathbb{Z}_M} f(y) \omega^{xy} \text{ mit } \omega = e^{2\pi i/M}$$

Transformation von f in die Fourier-Basis $\{\chi_x\}_{x \in \mathbb{Z}_M}$

- wenn f periodisch ist, dann werden die Koeffizienten zur Amplitude korrespondierender Basen groß
- Bestimmung der hauptsächlich vorkommenden Frequenzen im Signal und deren Amplituden

⇒ erlaubt Detektion der Perioden von Quantenzuständen

$$^9 e^{i\phi} = \cos \phi + i \sin \phi$$

Algorithmus von Shor

Quantenteil – QFT

Quantenquark

Marie
Hoffmann

Einleitung

Quanten
Quantenwelt
Superpositionen
Qubits

QuRechner
Funktionen
Gatter

Algorithmen
Faktorisierung
QFT

Fazit
Komplexität
Simulation

Quellen

Lemma zur Quanten-Fourier-Transformation

Für jedes m und $M = 2^m$ gibt es einen Quantenalgorithmus, der $O(m^2)$ elementare Quantenoperationen benötigt und eine Quantenregister vom Zustand $f = \sum_{x \in \mathbb{Z}_m} f(x)|x\rangle$ nach $\hat{f} = \sum_{y \in \mathbb{Z}_m} \hat{f}(y)|y\rangle$ mit $\hat{f}(y) = \frac{1}{\sqrt{M}} \sum_{x \in \mathbb{Z}_m} \omega^{xy} f(x)$

$$\mathbb{Z}_M = \{0, 1, 2, \dots, M - 1\}$$

Begründung: FT_M lässt sich in zwei Teilprobleme der Größe $M/2$ trennen.

Algorithmus von Shor

Quantenteil – QFT

Quantenquark

Marie
Hoffmann

Einleitung

Quanten
Quantenwelt
Superpositionen
Qubits

QuRechner

Funktionen
Gatter

Algorithmen

Faktorisierung
QFT

Fazit

Komplexität
Simulation

Quellen

Zwei Gatter reichen zur Durchführung einer **QFT**

- 1 **Hadamard-Gatter** operierend auf dem j -ten Qubit

$$R_j = \begin{array}{c} |0\rangle \\ |1\rangle \end{array} \left| \begin{array}{cc} \frac{1}{\sqrt{2}} & \frac{1}{\sqrt{2}} \\ \frac{1}{\sqrt{2}} & -\frac{1}{\sqrt{2}} \end{array} \right|$$

- 2 **Phasengatter**, operierend auf Qubits j und k

$$S_{j,k} = \begin{array}{c} |00\rangle \\ |01\rangle \\ |10\rangle \\ |11\rangle \end{array} \left| \begin{array}{cccc} 1 & 0 & 0 & 0 \\ 0 & 1 & 0 & 0 \\ 0 & 0 & 1 & 0 \\ 0 & 0 & 0 & e^{i\theta_{k-j}} \end{array} \right|$$

$$\theta_{k-j} = \pi/2^{k-j}$$

Algorithmus zur Ordnungsbestimmung

Eingabe: N und $A < N$, Ausgabe: Ordnung r , Register:
 $m + \text{polylog}(N)$ Qubits mit $m = \lceil 5 \log N \rceil$

- 1 Wende die QFT auf die ersten m Qubits an
- 2 Berechne $|x\rangle|y\rangle \mapsto |x\rangle y \oplus (A^x(\%N))$
- 3 Miss das zweite Register um y_0 zur erhalten
- 4 Wende die QFT auf das erste Register an
- 5 Miss das erste Register $x \in \mathbb{Z}_M$ und finde rationale Approximierung a/b für die Zahl $\frac{x}{M}$, falls $A^b = 1(\%N)$, gebe b aus

Algorithmus

- 1 QFT der ersten m Qubits
- 2 $|x\rangle|y\rangle \mapsto |x\rangle|y \oplus (A^x(\%N))\rangle$
- 3 y_0 aus Messung von 2. Register
- 4 QFT auf ersten m Qubits
- 5 Messung auf erstem Register

Zustand, initial: $|0^{m+n}\rangle$

- 1 $\frac{1}{\sqrt{M}} \sum_{x \in \mathbb{Z}_M} |x\rangle|0^n\rangle$
- 2 $\frac{1}{\sqrt{M}} \sum_{x \in \mathbb{Z}_M} |x\rangle|A^x(\%N)\rangle$
- 3 $\frac{1}{\sqrt{K}} \sum_{l=0}^{K-1} \underbrace{|x_0 + lr\rangle}_{\text{stark period. Signal}} |y_0\rangle$, mit $K = \lfloor (M - 1 - x_0)/r \rfloor$

4

$$\frac{1}{\sqrt{MK}} \left(\sum_{x \in \mathbb{Z}_n} \sum_{l=0}^{K-1} \omega^{(x_0+lr)x} |x\rangle \right) |y_0\rangle$$

Stärker formuliert (*strong form of CT thesis*)

Jedes physikalisch realisierbare Rechenmodell kann von einer TM mit höchstens polynomiellen Aufwand simuliert werden.

Realisierbarkeit von \mathcal{Q}

Nur wenn Bauanleitung für \mathcal{Q} vorhanden

⇒ Entscheidung treffen, ob \mathcal{Q} effizient simulierbar durch TM

Stärker formuliert (*strong form of CT thesis*)

Jedes physikalisch realisierbare Rechenmodell kann von einer TM mit höchstens polynomiellen Aufwand simuliert werden.

Realisierbarkeit von Q

Nur wenn Bauanleitung für Q vorhanden

⇒ Entscheidung treffen, ob Q effizient simulierbar durch TM

Ja

⇒ TM bleibt bisher mächtigstes Rechenmodell

Nein

⇒ CT-These widerlegt

⇒ Verschlüsselungsalgorithmen der Klasse QMA^a müssen her

^aanalog zu NP für TMs

Und wann gibt's den ersten Quantenrechner bei Saturn?

Steuerung von Qubits

Quantenquark

Marie
Hoffmann

Einleitung

Quanten
Quantenwelt
Superpositionen
Qubits

QuRechner
Funktionen
Gatter

Algorithmen
Faktorisierung
QFT

Fazit
Komplexität
Simulation

Quellen

Kandidaten

Ionenfallen optische/magnetische Felder um Ionen einzufangen

Optische Fallen Lichtwellen um Partikel einzufangen und zu steuern

Quantenpunkte verwenden Halbleitermaterialien, die Elektronen enthalten

Stickstoff-Fehlstellen im Diamanten (NV-Zentren), eingeschlossenes Stickstoffatom

Simulation von Quantenrechnung

Quantenquark

Marie
Hoffmann

Einleitung

Quanten
Quantenwelt
Superpositionen
Qubits

QuRechner
Funktionen
Gatter

Algorithmen
Faktorisierung
QFT

Fazit
Komplexität
Simulation

Quellen

- Quantenrechnungen können auf einem herkömmlichen PC simuliert werden, siehe C-Bibliothek Libquantum
- \Rightarrow Halteproblem auch mit Quantencomputer nicht lösbar
- Klasse der Simulationen auf einer TM ist **PSPACE**, also

Theorem

BQP \subseteq **PSPACE** Idee: Berechnung der Koeffizienten mittels Rekursion (Wiederverwendung von Speicherplatz)

Quantenquark

Marie
Hoffmann

Einleitung

Quanten

Quantenwelt
Superpositionen
Qubits

QuRechner

Funktionen
Gatter

Algorithmen

Faktorisierung
QFT

Fazit

Komplexität
Simulation

Quellen

Shor:1994 P. W. Shor, “Polynomial Time Algorithms For Prime Factorization And Discrete Logarithms On A Quantum Computer,” SIAM J. Sci. Statist. Comput. **26** (1997) 1484 [arXiv:quant-ph/9508027].